

黄文轩1,2,宗 丹1,王丽君1,张兰芳1,黄生富1,何 侠1,2

- (1. 江苏省肿瘤医院, 江苏省肿瘤防治研究所, 南京医科大学附属肿瘤医院, 江苏 南京 210009;
- 2. 南京医科大学第四临床医学院,江苏 南京 210000)

摘 要:[目的] 探讨鼻咽癌 N_2 期患者行 \mathbb{N} 区靶区范围缩减的可行性以及对甲状腺保护的剂量优势。[方法] 选取 2015 年 3 月至 2017 年 4 月收治的目前仍生存的鼻咽癌 N_2 患者 40 例作为研究对象,其中根据甲状腺周围颈动脉鞘淋巴结分布以及 \mathbb{M} 区淋巴结状态进行 \mathbb{N} 区靶区内界和/或下界优化的 34 例患者纳入优化组。收集全部患者的一般临床特征、影像学资料、甲状腺功能资料及放疗剂量参数,分析靶区范围优化对甲状腺功能的影响。[结果] 40 例患者中位随访时间为 63 个月,放疗后甲状腺功能减退(简称甲减)发生率为 45.0%(18/40),其中亚临床型甲减 15 例(37.5%),临床型甲减 3 例(7.5%),出现时间为放疗后 4~48 个月(中位时间 13 个月);优化组甲减发生率为 35.3%(12/34),均为亚临床型甲减。仅有 2 例(5.0%)患者甲状腺周围颈动脉鞘前方有可辨认淋巴结;分别有 29 例(72.5%)及 38 例(95.0%)患者颈动脉鞘后方及外方有可辨认淋巴结,颈动脉鞘后方、外方最内侧淋巴结距甲状腺外侧缘的中位距离分别为 9.5(5~21) \mathbb{N} $\mathbb{$

主题词:鼻咽癌;调强放射治疗;靶区优化;颈部淋巴结;放射性甲状腺功能减退

中图分类号:R739.63;R730.55 文献标识码:A 文章编号:1671-170X(2021)11-0933-06 doi:10.11735/j.issn.1671-170X.2021.11.B007

Effect of Nodal Selective Irradiation in Clinical Target Volume IV on Protecting Thyroid Function of 40 Patients with N₂ Nasopharyngeal Carcinoma

HUANG Wen-xuan^{1,2}, ZONG Dan¹, WANG Li-jun¹, ZHANG Lan-fang¹, HUANG Sheng-fu¹, HE Xia^{1,2}

(1. Jiangsu Cancer Hospital, Jiangsu Institute of Cancer Research, The Affiliated Cancer Hospital of Nanjing Medical University, Nanjing 210009, China; 2. The Fourth School of Clinical Medicine, Nanjing Medical University, Nanjing 210000, China)

Abstract: [Objective] To determine the feasibility of W level target reduction and the dose advantage for thyroid protection in patients with N₂ nasopharyngeal carcinoma. [Methods] Forty cases with N₂ nasopharyngeal carcinoma from March 2015 to April 2017 were selected, according to the distribution of perithyroidal carotid sheath lymph nodes and the status of III level lymph nodes, 34 media and/or caudal boundary optimized patients in IV level were included in the optimization group. The general clinical features, imaging data, thyroid function data, and radiotherapy dose parameters of all patients were collected to analyze the effect of optimization on thyroid function. [Results] The median follow-up time was 63 months. The incidence of hypothyroidism was 45.0%(18/40), including 15 cases (37.5%) of subclinical hypothyroidism and 3 cases (7.5%) of clinical hypothyroidism, occurred from 4 to 48 months after railiotherapy (median time was 13 months). The incidence of hypothyroidism in the optimized group was 35.3%(12/34), all of which were subclinical hypothyroidism. Only 2 patients(5.0%) had identifiable lymph nodes anterior to the carotid sheath around the thyroid gland; 29 patients(72.5%) and 38 patients(95.0%) had lymph nodes posterior and lateral to carotid sheath, respectively, and the distance from the most medial lymph node posterior or lateral to the lateral edge of the thyroid gland was 9.5(5~21) mm and 18(10~34) mm. The D_{mean} and V₃₀ of thyroid gland in the optimized group were lower than those in the non-optimized group. There was significant difference between the double boundary optimized patients and the non-optimized patients (P<0.01). No recurrence of cervical lymph nodes in the whole group. [Conclusion] It is safe and feasible to optimize the CTV range and spare irradiation in areas without lymph node distributionin cervical IV level in patients with advanced N stage of nasopharyngeal carcinoma, which can better protect thyroid function.

Subject words; nasopharyngeal carcinoma; intensity modulated radiotherapy; target optimization; cervical lymph node; radiation-induced hypothyroidism

基金项目: 国家自然科学基金项目(81872192); 江苏省卫健委重点项目(K2019028); 江苏省科技厅社会发展重点项目(BE2019756)

通信作者:何侠,副院长,主任医师,教授,博士研究生导师,博士;江苏省肿瘤医院/江苏省肿瘤防治研究所/南京医科大学 附属肿瘤医院,江苏省南京市玄武区百子亭 42 号(210009); E-mail: hexiabm@163.com

收稿日期:2021-10-17;修回日期:2021-11-06

鼻咽癌为头颈部最常见的恶性肿瘤之一,我国南方沿海地区高发,是少数放射治疗作为根治手段的恶性肿瘤之一。随着以调强放疗(intensity modulated radiation therapy,IMRT) 为核心的综合治疗模式不断发展,鼻咽癌患者的生存率不断提高,5年总生存率(overall survival,OS)可达 62%~80%[1]。鼻咽癌患者的中位发病年龄(45~50岁)相对比其他头颈部恶性肿瘤年轻[2],其放疗后的生活质量需要更多的关注。甲状腺功能减退(简称甲减)作为常见的调强放疗后遗症,会不同程度影响患者的生活质量。鼻咽癌患者颈部淋巴结转移率很高,高达 80%的患者确诊时已伴有颈部转移性淋巴结[3],在对颈部淋巴引流区的预防性照射中,照射野不可避免地覆盖了部分或全部甲状腺。有研究报道,接受头颈部放疗的患者原发性甲减的发生率在 20%~50%[4-6]。

IMRT在剂量学上的优势以及良好的靶区适形 性使其对周围的正常组织起到了明显的保护效果, 但由于 IMRT 早期运用经验不足以及缺乏对甲状腺 的剂量限制,其在甲状腺保护方面并没有展现出应 有的优势, 甲减发生率甚至高于常规放疗及 3D-CRT 时代[7-8]。本课题组既往研究[9]分析了 82 例 IMRT 治疗后长期生存的鼻咽癌患者的甲状腺功能 状况,甲减发生率较高,达58.5%。因此,我们在长期 的临床实践及靶区优化研究中,减少了 N 早期患者 甲状腺的照射体积及剂量,减少了甲状腺损伤[10-11]。 目前,针对双下颈引流区均需照射的鼻咽癌 N₂期患 者甲状腺保护的研究甚少,本研究旨在探索鼻咽癌 N₂期患者进行临床靶区(clinical target volume, CTV) 中Ⅳ区内界及下界范围优化的可行性,以及对甲状腺 保护的剂量学优势,以期为个体化放疗靶区优化提 供参考。

1 资料与方法

1.1 一般资料

收集 2015 年 3 月至 2017 年 4 月江苏省肿瘤医院放疗科单治疗组连续收治的鼻咽癌患者共 229 例,其中 N₀ 25 例,N₁ 134 例,N₂ 48 例,N₃ 22 例。①纳入标准:经病理确诊为鼻咽非角化型鳞癌;AJCC2017分期为 N₂;目前仍存活、临床资料完整且甲状腺功能检测随访时间>4 年。②排除标准:既往曾接受过

头颈部放疗或头颈部手术史;既往下丘脑、垂体、甲状腺疾病史;患者死亡。剔除 6 例死亡患者,1 例失访患者及1 例免疫治疗后出现甲状腺功能减退的患者,共有 40 例鼻咽癌 N₂ 期患者纳入本文分析,其中男性 35 例,女性 5 例,平均年龄为(47.4±12.5)岁。

根据 AJCC2017 分期标准进行分期: Ⅲ 期 30 例(75.0%), Ⅳa 期 10 例(25.0%)。

1.2 调强放疗及化疗方案

所有患者均接受根治性调强放疗。仰卧位使用头颈肩热塑膜固定行增强定位 CT 扫描,层厚和层间距均为 3 mm,扫描范围从头顶至隆突分叉水平,结合 MRI 扫描结果,部分患者结合 PET/CT 勾画靶区,放疗中至少复查定位 CT 1次(放疗 15 次后)。全组鼻咽原发灶及颈淋巴结引流区均采用 28+4 次同步推量多进程调强照射模式,鼻咽原发病灶及咽后区域定义为 GTV_{mx},影像学可见的阳性淋巴结定义为 GTV_{nd},原发灶周围及颈部高危淋巴引流区域定义为 CTV1,低危淋巴引流区定义为 CTV2。处方剂量:GTV_m 65.4~76.0 Gy/30~37 f;GTV_{nd} 60~75 Gy/28~37 f;CTV158~60.0 Gy/32 f;CTV2 50.4 Gy/28 f。所有患者均接受了以铂类为基础的两药或三药联合方案化疗,1~2 个周期的 28 例(70%),3~4 个周期的 12 例(30%)。

1.3 颈部 CTV 中Ⅳ 区淋巴引流区的勾画及优化策略

参照 RTOG 0615 指南并结合本中心临床经验 勾画颈部临床靶区,IV区的内界勾画策略如下:①在 甲状腺周围颈动脉鞘前方无淋巴结的患者中进行内 界优化;②靶区内界由颈动脉鞘周围可辨认的最内 侧淋巴结内缘向甲状腺方向外放 5 mm 形成,若外 放 5 mm 后靶区包绕部分甲状腺,则沿甲状腺外侧 缘修回 P-CTV(CTV 外放自然生成)内界。

IV区的下界勾画策略如下:①若Ⅲ区无阳性、IV区无可疑阳性(5~10 mm)淋巴结,则只照射IVa区, 靶区下界平颈横静脉水平;②若Ⅲ区有阳性或者IV区有可疑阳性淋巴结,则 P-CTV包全IVb区,下界至少达胸骨切迹水平(Figure 1)。

未优化组根据 2013 年更新的颈部淋巴引流区 共识指南,P-CTV 内界勾画至颈总动脉内侧缘,下界 达胸骨切迹水平。

1.4 甲状腺放射剂量参数评估及功能检测

剂量参数评估:由一名放疗科主任医师在定位

CT 图像上逐层勾画甲状腺轮廓,采用治疗计划系统精确计算甲状腺体积及剂量体积直方图(DVH),并测算甲状腺平均剂量(Dmean)和甲状腺体积剂量(VD)用于统计分析。

甲状腺功能检测:甲状腺功能随访时间为放疗前、放疗后即刻、放疗结束2年内每3~6个月1次,2年后为6~12个月1次。取患者清晨空腹血清应用全自动化学分析仪检测游离三碘甲状腺素(FT₃)、游离甲状腺素(FT₄)和促甲状腺激素(TSH)。TSH高于正常值者为原发性甲减,其中FT₄低于参考范围为临床型甲减,FT₄正常者为亚临床型甲减。

1.5 统计学处理

采用 SPSS 26.0 软件对计 量 资 料 行 t 检 验 或 Mann-

Whitney U 检验,计数资料行 Fisher 确切检验。以单因素方差分析比较甲状腺剂量学参数组间均值,P 值<0.05 为差异有统计学意义。

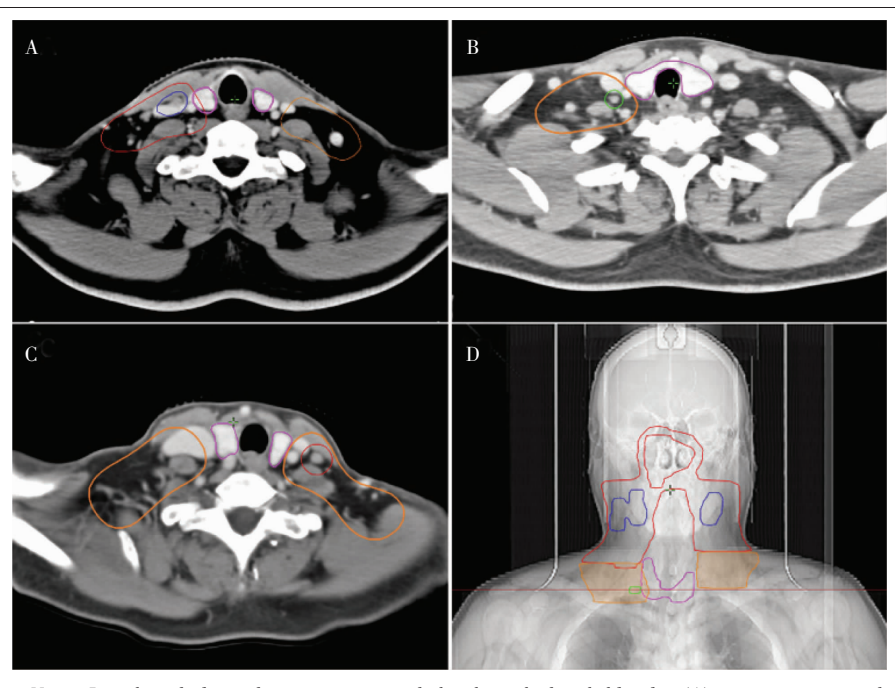
2 结 果

2.1 放疗后甲减发生率

40 例 IMRT 后长期生存的 N_2 期鼻咽癌患者,截至 2021 年 7 月 31 日,随访时间 50~75 个月(中位随访时间为 63 个月)。所有患者随访期内未出现颈部淋巴结复发。

共有 18 例患者出现了放射性甲状腺功能减退, 总发生率为 45.0%(18/40),出现时间为放疗后 4~48 个月 (中位时间 13 个月),其中临床型甲减 3 例 (7.5%),亚临床型甲减 15 例(37.5%)。放疗后 12、24、36 个月甲减发生率分别为 20.0%、37.5%、42.5%。

放疗后 48 个月优化组甲减发生率为 35.3% (12/34),均为亚临床型甲减,其中行 IV 区内界或下界优化(B组)患者的甲减发生率为 38.9%(7/18),内界以及下界均优化(C组)患者的甲减发生率为



Notes: Lymph node located anterior to carotid sheath marked with blue line(A), posterior to carotid sheath marked with green line(B), lateral to carotid sheath marked with red line(C). Optimized contouring method of medial boundary is shown in the left \overline{W} level of (A) and right \overline{W} level of (C); the optimization of caudal boundary is shown in left \overline{W} level of (D)

Figure 1 Carotid sheath lymph nodes distribution and IV region boundary of IMRT CTV target

31.3%(5/16);未优化组(A组)甲减发生率为100.0%(6/6),其中亚临床型甲减3例,临床型甲减3例。

2.2 甲状腺周围颈动脉鞘淋巴结的位置分布

全组 40 例患者有 2 例(5.0%)甲状腺周围颈动脉鞘前方有可辨认淋巴结 3 枚;29 例(72.5%)颈动脉鞘后方有可辨认淋巴结 42 枚,短径均小于 5 mm;38 例(95.0%)颈动脉鞘外方有可辨认淋巴结 63 枚,短径小于 5 mm的淋巴结 54 枚(85.7%),短径为 5~9 mm的淋巴结 9 枚(14.3%)(Figure 1)。颈动脉鞘外方淋巴结内缘距甲状腺外侧缘的中位距离为 18(10~34) mm,颈动脉鞘后方最内侧淋巴结内缘距甲状腺外侧缘的中位距离为 9.5(5~21) mm。

2.3 优化组与未优化组甲状腺放射剂量参数比较

全组 40 例患者中,A 组 6 例为未优化组,B 组 18 例行 IV 区内界或下界优化,C 组 16 例为 IV 区内界以及下界均行优化者。对各组甲状腺剂量参数行单因素方差分析,B 组及 C 组的甲状腺 D_{mean} 及 30 Gy甲状腺体积百分数 V_{30} 均低于 A 组,A、C 组间有统计学差异(P<0.05),并且 C 组的甲状腺 D_{mean} 及 V_{30} 显著低于 B 组(P<0.01)(Table 1~2)。

Table 1 Dose parameters of thyroid gland among different groups

Group	N (%)	D _{mean} of thyroid gland (Gy)	V ₃₀ of thyroid gland (%)
A	6(15.0)	35.71±6.46	71.88±25.54
В	18(45.0)	31.90±3.48	58.73±16.88
C	16(40.0)	25.51±6.35	37.58±24.50
Total	40(100.0)	29.92±6.41	52.24±24.61

Table 2 The results of variance analysis of thyroid gland radiation dose parameters among different groups

parameters among unrerent groups								
Parameter	Group		Mean difference	S.E.	P	95%CI		
D _{mean} of thyroid gland(Gy)	A	В	3.81	2.76	0.482	-5.01~12.63		
		C	10.20	3.08	0.026	1.29~19.10		
	В	A	-3.81	2.76	0.482	-12.63~5.01		
		C	6.39	1.79	0.005	1.80~10.98		
	C	A	-10.20	3.08	0.026	-19.10~-1.29		
		В	-6.39	1.79	0.005	-10.98~-1.80		
V ₃₀ of thyroid gland(%)	A	В	13.16	10.14	0.202	-7.38~33.70		
		C	34.30	10.29	0.002	13.44~55.16		
	В	A	-13.16	10.14	0.202	-33.70~7.38		
		C	21.15	7.39	0.007	6.18~36.12		
	C	A	-34.3	10.29	0.002	-55.16~-13.44		
		В	-21.15	7.39	0.007	-36.12~-6.18		

3 讨论

甲状腺是人体最大的内分泌器官,其主要体积 位于环状软骨水平以下的气管两侧即Ⅳ区以下,在 鼻咽癌颈部照射中难以避免地暴露在放疗区域内, 甲状腺组织的损伤通常表现为甲状腺功能减退,可 导致许多影响生活质量的并发症,如心血管疾病、认 知功能障碍、畏寒、便秘、体重增加、感觉异常和抑郁 等。在 IMRT 应用的早期甲状腺功能保护未得到重 视,甲减发生率甚至高于常规放疗及 3D-CRT 时代,这 可能是由于常规放疗时代颈前切线野挡铅 2~3 cm,而 3D-CRT常规屏蔽颈中线。作者所在课题组回顾性 分析了 IMRT 应用早期收治的 82 例参考 RTOG 0225 指南勾画靶区的鼻咽癌患者的甲状腺功能,结 果显示甲状腺功能减退发生率为 58.5%[9]。本课题 组自此以后长期进行颈部临床靶区优化保护甲状腺 功能的临床研究[10-13],对于 No 期患者或仅有咽后淋 巴结转移的 N₁ 期患者只对上颈淋巴引流区进行预 防性照射:其余 N₁ 患者仅预防性照射颈淋巴结阳性 侧下颈淋巴引流区,因而 N 早期患者至少有一侧下 颈部的照射范围和/或剂量得到了缩减,甲状腺功能 得到了较好的保护。有研究显示甲状腺总剂量与 N 分期相关 $^{[14]}$,晚 N 分期患者由于 GTV_{nd} 的存在以及 GTV_{nd} 需包括双侧 $II \sim V$ 区,双下颈均接受较高剂量,几乎全部甲状腺均暴露在高剂量照射野中,更容易发生放射性甲减,因而如何降低这部分患者甲状腺的照射剂量也就成了亟待解决的难点。

鼻咽癌的颈部 CTV 勾画通常遵循《2013 头颈

部肿瘤淋巴结勾画国际共识指南》(以下简称 2013 共识)^[15]规定的边界,IV区上界为环状软骨下缘,下界为胸骨切迹水平,外界为胸锁乳突肌深面,内界为颈总动脉内侧缘,前界为胸锁乳突肌后缘或斜角肌前缘。但 Lin 等^[16]的研究基于鼻咽癌颈淋巴结的分布概率图提出了一些改进,由于在胸锁乳突肌和舌骨下带状肌之间的间隙中未发现淋巴结,故该研究提出IV区前界可修改至带状肌后缘。

本研究统计了 40 例患者甲状腺周围的 108 枚颈动脉鞘淋巴结的位置分

布,结果显示大部分患者(38/40)颈动脉鞘前方与甲 状腺的间隙中没有淋巴结分布,这为Ⅳ区的内界缩 减提供了条件;72.5%的患者(29/40)颈动脉鞘后方有 影像学可辨认的淋巴结分布, 距离甲状腺内侧边缘 的中位距离为 9.5 mm, 最短距离为 5 mm; 95.0%的 患者(38/40)颈动脉鞘外方有可辨认淋巴结,距离甲 状腺内侧边缘的中位垂直距离为 18 mm, 最短距离 为 10 mm, 这为IV区的内界优化提供了一定的物理 空间,在颈动脉鞘前方没有淋巴结分布的大部分患 者中,本研究优化组的靶区内侧边界由颈动脉鞘周 围可辨认的最内侧淋巴结内缘向甲状腺方向外放 5 mm 形成, 靶区与甲状腺保持了一定的距离, 使得甲状腺 受照射的剂量体积显著降低。比较三组之间的甲状 腺剂量学参数,参照 2013 共识勾画靶区的 A 组的 甲状腺 Dmean 及 V30 均高于IV区下界或内界有缩减的 B组,平均差值分别为 3.81 Gy 及 13.16%,但优势差 异尚未达到统计学意义,这可能是样本量过小以及 两组间病例数量悬殊造成的。Ⅳ区内界下界均缩减 的 C 组 D_{mean} 及 V₃₀ 显著低于 A、B 两组(P<0.01),这 提示了对于Ⅳ区靶区下界或内界单一边界的缩减优 化即可降低甲状腺受照剂量体积, 而下界与内界的 双重优化可显著降低甲状腺受照剂量体积,继而减轻甲状腺的损伤。

远期疗效方面,接受颈部临床靶区范围优化的 患者均未出现颈部淋巴结复发,未入组本研究的 6 例死亡患者也全部进行了靶区范围优化,6 例至死 亡前均未发生中下颈淋巴结复发,其中 1 例死于肝 转移,1 例死于骨转移,其余均死于多发转移。因此, 我们认为在甲状腺周围颈动脉鞘前方无淋巴结的前 提下,基于淋巴结分布及与甲状腺的相对位置所进 行的Ⅳ区内界缩减,以及根据Ⅲ区淋巴结状态进行 的Ⅳ区下界缩减是安全可行的。

对于在甲状腺周围颈动脉鞘前方无淋巴结分布的 N₂ 患者,我们建议靶区内界应由颈动脉鞘周围可辨认的最内侧淋巴结内缘向甲状腺方向外放 5 mm 形成;对于III 区无阳性、IV区无可疑阳性(5~10 mm)淋巴结的 N₂ 患者,我们建议只照射 IV a 区,靶区下界平颈横静脉水平;反之则包全 IV b 区,下界至少达胸骨切迹水平。综上所述,对鼻咽癌 IMRT 患者进行颈部 IV 区淋巴结 CTV 范围缩减,在没有淋巴结分布的区域免除照射可以较好地降低甲状腺的剂量体积参数,最大程度地保护甲状腺组织,对于提高患者的远期生活质量具有积极意义,而清晰的增强定位 CT图像以及较强的淋巴结辨认能力是实行靶区优化的前提条件。本研究的不足之处在于研究对象限定于N₂ 期,病例数量较少,期待大样本、前瞻性的临床研究以及长期随访来验证本研究的结论。

参考文献:

- [1] Lee AW, Tung SY, Chua DT, et al. Randomized trial of radiotherapy plus concurrent-adjuvant chemotherapy vs radiotherapy alone for regionally advanced nasopharyngeal carcinoma[J]. J Natl Cancer Inst, 2010, 102(15):1188–1198.
- [2] Ou SI, Zell JA, Ziogas A, et al. Epidemiology of nasopharyngeal carcinoma in the United States: improved survival of Chinese patients within the keratinizing squamous cell carcinoma histology[J]. Ann Oncol, 2007, 18(1):29–35.
- [3] Ho FC, Tham IW, Earnest A, et al. Patterns of regional lymph node metastasis of nasopharyngeal carcinoma; a meta-analysis of clinical evidence[J], BMC cancer, 2012, 12:98.
- [4] Lee V, Chan SY, Choi CW, et al. Dosimetric predictors of hypothyroidism after radical intensity-modulated radiation therapy for non-metastatic nasopharyngeal carcinoma [J].

- Clin Oncol(R Coll Radiol), 2016, 28(8); e52-60.
- [5] Zhai RP, Kong FF, Du CR, et al. Radiation-induced hypothyroidism after IMRT for nasopharyngeal carcinoma: clinical and dosimetric predictors in a prospective cohort study[J]. Oral Oncol, 2017, 68:44–49.
- [6] Huang CL, Tan HW, Guo R, et al. Thyroid dose-volume thresholds for the risk of radiation-related hypothyroidism in nasopharyngeal carcinoma treated with intensity-modulated radiotherapy-a single-institution study[J]. Cancer Med, 2019, 8(16):6887–6893.
- [7] Murthy V, Narang K, Ghosh-Laskar S, et al. Hypothyroidism after 3-dimensional conformal radiotherapy and intensity-modulated radiotherapy for head and neck cancers: prospective data from 2 randomized controlled trials [J]. Head Neck, 2014, 36(11):1573–1580.
- [8] Lin Z, Chen L, Fang Y, et al. Longitudinal study on the correlations of thyroid antibody and thyroid hormone levels after radiotherapy in patients with nasopharyngeal carcinoma with radiation-induced hypothyroidism[J]. Head Neck, 2014, 36(2):171–175.
- [9] 王丽君,何侠,黄生富,等. 鼻咽癌调强放疗后长期生存患者甲状腺功能状态的研究[J]. 肿瘤学杂志,2014,20(7):546-550.
 - Wang LJ, He X, Huang SF, et al. Evaluation of thyroid function status in nasopharyngeal cancer patients with long-term survival after intensity-modulated radiation therapy[J]. Journal of Chinese Oncology, 2014, 20(7):546–550.
- [10] 陈薇,王丽君,王飞江,等. 鼻咽癌调强放疗临床靶区中 IV区优化对甲状腺剂量的影响[J]. 临床肿瘤学杂志,2015, 20(11):1023-1027.
 - Chen W, Wang LJ, Wang FJ, et al. Effects of IV regimen on thyroid dose in clinical target of nasopharyngeal carcinoma[J]. Journal of Clinical Oncology, 2015, 20(11):1023–1027.
- [11] 刘菊英,陈薇,王丽君,等. 鼻咽癌调强放疗优化颈部靶 区对甲状腺功能保护的临床研究 [J]. 中国肿瘤,2015, (12):1031-1037.
 - Liu JY, Chen W, Wang LJ, et al. Preliminary study on the protection of thyroid function in the treatment of thyroid function by adjusting the intensity of radiotherapy in nasopharyngeal carcinoma[J]. China Cancer, 2015, 24(12): 1031–1037.
- [12] 问静,王丽君,张兰芳,等. 鼻咽癌 N₁ 患者对侧下颈调强靶 区优化的临床研究[J]. 肿瘤学杂志,2019,25(2):102-106. Wen J,Wang LJ,Zhang LF,et al. Clinical study of con-

tralateral lower neck intensity-modulated radiotherapy target volumn optimization in patients with N₁-staged nasopharyngeal carcinoma[J]. Journal of Chinese Oncology, 2019, 25(2): 102-106.

- [13] 徐文静,陈震章,王丽君,等. 鼻咽癌调强放疗中上颈部 CTV 剂量优化对主要中线结构的保护[J]. 中华放射肿瘤 学杂志,2021,30(5):440-445.
 - Xu WJ, Chen ZZ, Wang LJ, et al. Effect of CTV dose optimization in upper and middle neck on protecting the main midline structures in intensity-modulated radiotherapy for nasopharyngeal carcinoma [J]. Chinese Journal of Radiation Oncology, 2021, 30(5): 440-445.
- [14] Bhandare N, Kennedy L, Malyapa RS, et al. Primary and

- central hypothyroidism after radiotherapy for head-andneck tumors[J]. Int J Radiat Oncol Biol Phys, 2007, 68 (4):1131-1139.
- [15] Grégoire V, Ang K, Budach W, et al. Delineation of the neck node levels for head and neck tumors: a 2013 update. DAHANCA, EORTC, HKNPCSG, NCIC CTG, NCRI, RTOG, TROG consensus guidelines[J]. Radiother Oncol, 2014,110(1):172-181.
- [16] Lin L, Lu Y, Wang XJ, et al. Delineation of neck clinical target volume specific to nasopharyngeal carcinoma based on lymph node distribution and the international consensus guidelines [J]. Int J Radiat Oncol Biol Phys, 2018, 100(4): 891-902.

《整合肿瘤学》 征订通知



各专委会、省市自治区抗癌协会、医疗机构、科研院所、团体会员单位、各位专家:

为了推动肿瘤整合医学的发展,中国抗癌协会理事长樊代明院士领衔,郝希山院士、詹启敏院士、于金明 院士、王红阳院士、赫捷院士,张岂凡、季加孚、李强、郭小毛、徐瑞华、朴浩哲、吴永忠、王瑛教授等牵 头,组织近千位专家,编写完成《整合肿瘤学》大型学术专著。该书对国内外肿瘤医学基础与临床各领域进行 全面梳理、总结,不仅涵盖基础、转化、临床的全学科领域,同时由临床经验丰富的肿瘤专家整理大量临床病 例,并进行多学科诊疗解读,可极大提升医务工作者的临床诊治能力,是每一位肿瘤医务工作者、科研工作者 的必备工具书。通过与出版社的沟通,我们争取到针对协会个人会员和团体会员的内部征订优惠政策,具体情 况如下:

【丛书信息】

○ 全书分6个分册(基础卷和临床卷)

基础卷:基础分册、诊断分册、治疗分册。 临床卷: 头胸部肿瘤分册、腹部盆腔肿瘤分册、 血液骨科及其他肿瘤分册。

- 共计600余万字, 3600余页, 精装, 铜版纸全彩色印刷。
- 世界图书出版公司、科学出版社 联合出版

【丛书定价】

定价: 2266.00元 (全6册)。

【内部折扣】

- (1)征订数量≥10套,6.6折(包邮、开发票);
- (2) 征订数量 < 10套, 6.8折(包邮、开发票)。

【联系方式】

韩老师 13700276237 王老师 15991692779